

METODY OBLICZENIOWE W NAUCE I TECHNICIE

Laboratorium 5 | Zagadnienie aproksymacji średniokwadratowej wielomianami algebraicznymi

Jakub Kaliński | Informatyka | rok II
Grupa numer 5 | Piątek | Godzina 15:00 - 16:30
3 maja 2025

1 Treść i przebieg zadania

1.1 Cel ćwiczenia

Celem ćwiczenia było wyznaczenie przybliżenia zadanej funkcji, wykorzystując **aproksymację średniokwadratową wielomianami algebraicznymi** oraz analizę dokładności tego przybliżenia w zależności od liczby punktów dyskretyzacji (n) i stopnia wielomianu aproksymującego (m).

1.2 Zadana funkcja i przedział

Analizowaną funkcją jest:

$$f(x) = \sin\left(\frac{kx}{\pi}\right) e^{\frac{-mx}{\pi}} \quad \text{gdzie } k = 4.0, \text{ oraz } m = 0.4$$

Funkcja ta była badana w przedziale $[a, b]$, gdzie $a = -2\pi^2$ oraz $b = \pi^2$. Wartości stałych k, m, a, b oraz π są zdefiniowane w pliku `function.c` i dostępne globalnie w projekcie poprzez `common.h`.

1.3 Przebieg ćwiczenia

Ćwiczenie obejmowało następujące kroki zrealizowane w środowisku C, z wykorzystaniem skryptu Pythona i Gnuplot do wizualizacji:

- Implementacja podstawowych modułów (C):** Stworzono funkcje do obliczania wartości funkcji $f(x)$ (`function.c`), generowania węzłów (`nodes.c`), obliczania błędów (`error.c`), operacji wejścia/wyjścia (`fileio.c`) oraz rozwiązywania układów równań liniowych (`linear_algebra.c`).
- Dyskretyzacja funkcji (C):** Dla różnych wartości n (liczby punktów dyskretyzacji), od $n = 2$ do zadanej przez użytkownika wartości N_{max} , wyznaczono n punktów (x_i, y_i) w przedziale $[a, b]$, gdzie $y_i = f(x_i)$. Zgodnie z implementacją (`nodes.c`, `main.c`), zastosowano **równomierne rozmieszczenie** punktów x_i (generowane przez funkcję `uniformNodes`). Wygenerowane punkty (x_i, y_i) dla każdego n zapisano do osobnych plików `.dat` w katalogu `data/`.
- Aproksymacja średniokwadratowa (C):** Dla każdej liczby punktów n oraz dla różnych stopni wielomianu m (gdzie $0 \leq m < n$ i $m \leq M_{max}$ zadanego przez użytkownika), wyznaczono wielomian algebraiczny $P_m(x) = a_0 + a_1x + \dots + a_mx^m$, który minimalizuje sumę kwadratów błędów w punktach dyskretyzacji:

$$S(a_0, \dots, a_m) = \sum_{i=0}^{n-1} (P_m(x_i) - y_i)^2 \rightarrow \min$$

Zadanie to sprowadza się do znalezienia wektora współczynników $\mathbf{a} = [a_0, a_1, \dots, a_m]^T$, które minimalizują powyższą sumę S .

Podejście teoretyczne (Równania normalne): Minimalizacja S względem każdego współczynnika a_j (poprzez przyrównanie pochodnych cząstkowych $\partial S / \partial a_j$ do zera) prowadzi do układu $m+1$ równań liniowych, znanego jako **układ równań normalnych**:

$$\mathbf{G}\mathbf{a} = \mathbf{B}$$

gdzie:

- \mathbf{G} jest symetryczną, dodatnio półokreśloną macierzą Grama o wymiarach $(m+1) \times (m+1)$, której elementy są dane wzorem:

$$G_{jk} = \sum_{i=0}^{n-1} x_i^{j+k} \quad (\text{dla } j, k = 0, 1, \dots, m)$$

- $\mathbf{a} = [a_0, a_1, \dots, a_m]^T$ jest wektorem szukanych współczynników wielomianu.
- \mathbf{B} jest wektorem prawych stron o wymiarach $(m+1) \times 1$, którego elementy są dane wzorem:

$$B_j = \sum_{i=0}^{n-1} y_i x_i^j \quad (\text{dla } j = 0, 1, \dots, m)$$

Rozwiązanie tego układu równań daje szukane współczynniki \mathbf{a} .

Podejście praktyczne (Implementacja w C): W dostarczonej implementacji C (funkcja `leastSquaresApprox` w `approximation.c`):

- **Jawnie konstruowana jest macierz Grama \mathbf{G} oraz wektor prawych stron \mathbf{B}** zgodnie z powyższymi wzorami. Zastosowano drobne optymalizacje dla potęg x^0 i x^1 .
- **Układ równań $\mathbf{G}\mathbf{a} = \mathbf{B}$ jest rozwiązywany przy użyciu funkcji `gaussianElimination` (zaimplementowanej w `linear_algebra.c`).** Funkcja ta stosuje metodę eliminacji Gaussa z częściowym wyborem elementu głównego (pivotingiem) w celu poprawy stabilności numerycznej.
- W przypadku, gdy eliminacja Gaussa napotka problem (np. macierz \mathbf{G} okaże się osobliwa lub bliska osobliwej, co jest sygnalizowane przez wartość zwracaną -1), funkcja `leastSquaresApprox` również zwraca błąd.

Należy podkreślić, że bezpośrednie tworzenie i rozwiązywanie układu równań normalnych, nawet z pivotingiem, może być **niestabilne numerycznie**, szczególnie dla wielomianów wysokiego stopnia m . Macierz \mathbf{G} staje się wtedy **źle uwarunkowana**.

Definicja: Liczba uwarunkowania macierzy

Liczba uwarunkowania macierzy \mathbf{A} , oznaczana jako $\kappa(\mathbf{A})$, jest miarą określającą, jak bardzo wrażliwe jest rozwiązanie układu równań liniowych $\mathbf{A}\mathbf{x} = \mathbf{b}$ na małe względne zmiany (błędy) w danych wejściowych, czyli w macierzy \mathbf{A} lub wektorze \mathbf{b} . Formalnie, jest ona często definiowana jako $\kappa(\mathbf{A}) = \|\mathbf{A}\| \cdot \|\mathbf{A}^{-1}\|$, gdzie $\|\cdot\|$ oznacza wybraną normę macierzową.

Interpretacja:

- $\kappa(\mathbf{A}) \approx 1$: Macierz jest **dobrze uwarunkowana**. Małe błędy wejściowe prowadzą do małych błędów w rozwiązaniu. Problem jest stabilny numerycznie.
- $\kappa(\mathbf{A}) \gg 1$: Macierz jest **źle uwarunkowana**. Małe błędy wejściowe mogą zostać znacznie wzmocnione, prowadząc do dużych błędów w rozwiązaniu. Problem jest niestabilny numerycznie, a obliczenia mogą prowadzić do utraty precyzji (orientacyjnie, można stracić $\log_{10}(\kappa(\mathbf{A}))$ cyfr znaczących). Macierze Grama dla wielomianów wysokiego stopnia są typowo źle uwarunkowane.

Po uzyskaniu współczynników \mathbf{a} , wartości wielomianu $P_m(x)$ dla dowolnych x (np. dla punktów do rysowania wykresu) są obliczane za pomocą wydajnego schematu Hornera (zaimplementowanego w funkcji `evaluatePolynomial` w `approximation.c`). Obliczone wartości $P_m(x)$ na gęstej siatce również zapisano do plików `.dat`.

4. **Eksperymenty numeryczne (C):** Program główny (`main.c`) przeprowadził serię obliczeń, iterując przez liczbę punktów n (od $n = 2$ do N_{max}) oraz stopień wielomianu m (od $m = 0$ do $\min(n-1, M_{max})$).

5. **Ocena błędów (C):** Dla każdej pary (n, m) , dla której udało się obliczyć współczynniki, program obliczył błędy aproksymacji, porównując wartości wielomianu $P_m(x)$ z wartościami oryginalnej funkcji $f(x)$ na gęstej siatce $N_{plot} = 1000$ punktów w przedziale $[a, b]$ (funkcja `calculateError` w `error.c`). Użyto dwóch metryk:

- Błąd maksymalny bezwzględny ($E_m = \max |P_m(x) - f(x)|$).
- Błąd średniokwadratowy ($MSE = \frac{1}{N_{plot}} \sum (P_m(x_j) - f(x_j))^2$).

Wyniki błędów (wraz z n i m) zostały zapisane w formacie CSV do pliku `data/approximation_heatmap_errors.csv` (funkcja `appendErrorToHeatmapFile`). W przypadku niepowodzenia obliczeń dla danej pary (n, m) , zapisywano wartości 'NAN'.

6. **Generowanie skryptów wizualizacyjnych (C):** Program C wygenerował również skrypt Gnuplot (`scripts/plot_all_approximations.gp`) zawierający pętlę 'do for', który umożliwia automatyczne wygenerowanie indywidualnych wykresów porównawczych dla wszystkich par (n, m) .

7. **Wizualizacja wyników (Python + Gnuplot):** Wykorzystano dwa narzędzia:

- **Python (skrypt `plot_heatmaps.py`):** Skrypt ten wczytuje dane błędów z pliku CSV i generuje **heatmapy** pokazujące zależność błędów E_m i MSE od obu parametrów $(n$ i $m)$. Skrypt zapisuje heatmapy (w tym wersje z adnotacjami dla mniejszego zakresu) do katalogu `plots/`.
- **Gnuplot:** Uruchomienie skryptu `scripts/plot_all_approximations.gp` (wygenerowanego przez C) tworzy **indywidualne wykresy** porównujące funkcję $f(x)$, wielomian $P_m(x)$ oraz punkty dyskretyzacji (x_i, y_i) dla każdej pary (n, m) . Wykresy te są zapisywane jako pliki `.png` w katalogu `plots/`.

Celem analizy było zrozumienie, jak liczba punktów dyskretyzacji i stopień wielomianu wpływają na jakość i stabilność aproksymacji średniokwadratowej, szczególnie w kontekście użycia metody równań normalnych.

2 Dane techniczne sprzętu

Do wykonania zadania wykorzystany został komputer o poniższej specyfikacji:

- System operacyjny: *Windows 10 x64* (lub inny, na którym uruchomiono kod)
- Procesor: *Intel Core i7-11370H* o taktowaniu *3.30GHz* (lub inny)
- Pamięć RAM: *16GB* (lub inna)

3 Dane techniczne oprogramowania

3.1 System operacyjny

- Windows 10 (lub Linux/macOS, jeśli używano)

3.2 Narzędzia programistyczne i wykonawcze

- **Język implementacji obliczeń:** *C*
- **Kompilator C:** *GCC* (zgodnie z Makefile, np. wersja MinGW lub systemowa)
- **System budowania:** *Make* (do zarządzania kompilacją i uruchamianiem)
- **Narzędzie do wizualizacji (heatmapy):** *Python 3* (np. wersja 3.x)
- **Narzędzie do wizualizacji (wykresy indywidualne):** *Gnuplot* (np. wersja 5.x)

3.3 Użyte biblioteki i moduły

- **C:** Standardowe biblioteki C (stdio.h, stdlib.h, math.h, string.h). Brak zewnętrznych bibliotek C.
- **Python (dla skryptu plot_heatmaps.py):**
 - pandas – do wczytywania i manipulacji danymi z pliku CSV.
 - numpy – do operacji numerycznych (np. obsługa NaN/Inf).
 - matplotlib.pyplot – do tworzenia i zarządzania figurami wykresów.
 - seaborn – do generowania estetycznych heatmap.
 - os, sys – do operacji na ścieżkach plików i systemie.

3.4 Wizualizacja

Wizualizację wyników zrealizowano dwutorowo:

- **Heatmapy błędów:** Generowane przez skrypt Python (plot_heatmaps.py) przy użyciu bibliotek matplotlib i seaborn, na podstawie danych z pliku CSV.
- **Indywidualne wykresy aproksymacji:** Generowane przez Gnuplot na podstawie skryptu (plot_all_approximation.py) automatycznie wygenerowanego przez program C. Skrypt ten odczytuje dane funkcji, aproksymacji i węzłów z plików .dat.

4 Wyznaczenie dokładności aproksymacji

W celu wyznaczenia dokładności, z jaką wielomian aproksymujący $P_m(x)$ przybliży zadaną funkcję $f(x)$, wykorzystano poniższe metryki błędów, obliczane przez program C (error.c) na gęstej siatce $N_{plot} = 1000$ punktów w przedziale $[a, b]$.

4.1 Błąd maksymalny (norma supremum)

Błąd maksymalny bezwzględny, zwany też błędem w normie supremum (L_∞), jest zdefiniowany jako:

$$E_m = \max_{x \in [a, b]} |P_m(x) - f(x)| \approx \max_{j=0, \dots, N_{plot}-1} |P_m(x_j^{plot}) - f(x_j^{plot})| \quad (1)$$

gdzie x_j^{plot} to punkty z gęstej siatki. Wskazuje on największe odchylenie aproksymacji od funkcji oryginalnej w całym przedziale.

4.2 Błąd średniokwadratowy (MSE)

Błąd średniokwadratowy (Mean Squared Error) mierzy średnią wartość kwadratu różnicy między aproksymacją a funkcją oryginalną na gęstej siatce:

$$MSE = \frac{1}{N_{plot}} \sum_{j=0}^{N_{plot}-1} (P_m(x_j^{plot}) - f(x_j^{plot}))^2 \quad (2)$$

Jest to miara średniego błędu aproksymacji. Czasami używa się też pierwiastka z MSE (RMSE).

4.3 Interpretacja wyników

Analiza obu wskaźników błędu w zależności od liczby punktów dyskretyzacji n oraz stopnia wielomianu m pozwala ocenić jakość i stabilność procesu aproksymacji:

- Spadek błędów wraz ze wzrostem m (dla ustalonego n) wskazuje na poprawę dopasowania wielomianu do danych.
- Zbyt duży stopień m (bliski $n - 1$) może prowadzić do problemów numerycznych związanych ze złym uwarunkowaniem macierzy Grama G . Nawet jeśli uda się rozwiązać układ równań, wynikowy wielomian może wykazywać duże oscylacje między punktami próbkowania, co prowadzi do wzrostu błędów E_m i MSE na gęstej siatce.

- Wzrost błędów dla bardzo dużych m jest sygnałem problemów numerycznych (złe uwarunkowanie macierzy Grama) i/lub zjawiska przeuczenia (overfittingu).
- Wpływ liczby punktów n : Zwiększanie n generalnie powinno poprawiać jakość aproksymacji (dla odpowiednio dobranego m), dostarczając więcej informacji o funkcji i potencjalnie poprawiając uwarunkowanie problemu dla danego m .

Heatmapy błędów pozwalają na szybką wizualizację tych zależności i identyfikację obszarów (n, m) , gdzie aproksymacja jest najlepsza lub gdzie pojawiają się problemy numeryczne.

5 Złe uwarunkowanie i stabilność numeryczna

Podobnie jak w interpolacji wielomianowej, również w aproksymacji średniokwadratowej wielomianami algebraicznymi wysokiego stopnia pojawia się problem złego uwarunkowania, szczególnie przy użyciu standardowej bazy potęgowej $(1, x, x^2, \dots, x^m)$.

5.1 Przyczyna problemu

Problem wynika z faktu, że kolumny macierzy Grama G , której elementy to sumy x_i^{j+k} , stają się "prawie"liniowo zależne dla dużych m . Oznacza to, że macierz G staje się **źle uwarunkowana** (jej liczba uwarunkowania $\kappa(G)$ jest bardzo duża). Jest to szczególnie widoczne przy równomiernym rozmieszczeniu punktów x_i . Złe uwarunkowanie oznacza, że małe błędy numeryczne (wynikające z ograniczonej precyzji arytmetyki zmiennoprzecinkowej) lub małe zmiany w danych wejściowych (x_i, y_i) mogą prowadzić do dużych zmian w obliczonych współczynnikach wielomianu a podczas rozwiązywania układu $Ga = B$.

5.2 Skutki

Skutkiem złego uwarunkowania macierzy G mogą być:

- **Niepowodzenie rozwiązania układu:** Metoda eliminacji Gaussa (nawet z pivotingiem) może napotkać dzielenie przez bardzo małą liczbę (bliską zeru numerycznemu) i zwrócić błąd osobliwości (jak zaimplementowano w `gaussianElimination`). W takim przypadku program C zapisuje 'NAN' jako wartości błędów.
- **Niedokładne współczynniki:** Nawet jeśli uda się uzyskać rozwiązanie, obliczone współczynniki a_k mogą mieć duże błędy numeryczne.
- **Duże błędy aproksymacji:** Wielomian z niedokładnymi współczynnikami może wykazywać duże oscylacje między punktami próbkowania, co prowadzi do dużego błędu maksymalnego E_m i MSE na gęstej siatce, mimo że formalnie minimalizuje on sumę kwadratów w punktach x_i .
- **Wrażliwość na dane:** Niewielka zmiana jednego punktu (x_i, y_i) może drastycznie zmienić wielomian aproksymujący wysokiego stopnia.

Zjawisko to jest związane z efektem Runge'go znanym z interpolacji, choć mechanizm (minimalizacja sumy kwadratów vs. przejście przez punkty) i manifestacja (problemy numeryczne i globalne dopasowanie vs. oscylacje głównie na krańcach) są nieco inne.

5.3 Rozwiązania (niezaimplementowane w tym kodzie C)

Problem złego uwarunkowania w aproksymacji można łagodzić przez:

- **Ograniczenie stopnia wielomianu m :** Wybór stopnia znacznie mniejszego niż liczba punktów n . Jest to podstawowa strategia stosowana w praktyce.
- **Użycie baz ortogonalnych:** Zastosowanie wielomianów ortogonalnych (np. Legendre'a, Czebyszewa) jako funkcji bazowych zamiast $1, x, x^2, \dots$ prowadzi do znacznie lepiej uwarunkowanych (często diagonalnych lub bliskich diagonalnym) macierzy układu równań.

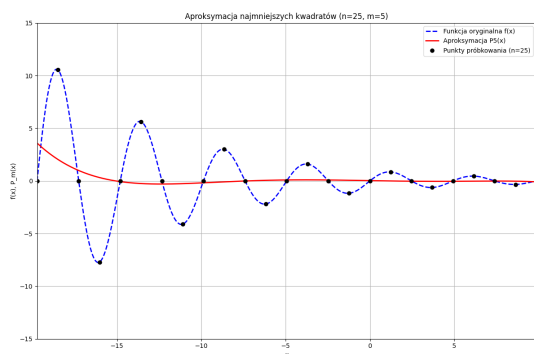
- **Stosowanie stabilnych metod numerycznych na macierzy Vandermonde'a:** Zamiast tworzyć macierz Grama G , można sformułować problem jako minimalizację $\|Aa - y\|_2^2$, gdzie A jest macierzą Vandermonde'a (lub macierzą projektu). Problem ten można rozwiązać za pomocą numerycznie stabilnych metod, takich jak rozkład QR lub SVD (Singular Value Decomposition) macierzy A . Takie podejście jest stosowane np. w funkcji `numpy.linalg.lstsq` w Pythonie. Jest ono generalnie bardziej odporne na złe uwarunkowanie niż jawne rozwiązywanie układu równań normalnych.
- **Regularyzacja:** Dodanie członów regularyzacyjnych (np. L1, L2) do minimalizowanej funkcji błędu, co ogranicza wielkość współczynników i stabilizuje rozwiązanie.

W przeprowadzonym eksperymencie C zastosowano metodę równań normalnych z eliminacją Gaussa i częściowym pivotingiem. Głównym mechanizmem radzenia sobie z niestabilnością jest ograniczenie stopnia m w stosunku do n , co jest widoczne w analizie wyników.

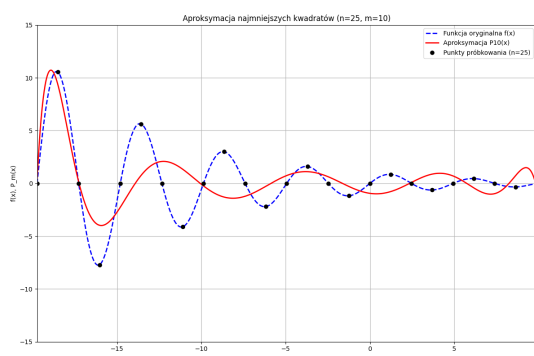
6 Przykładowe wykresy aproksymacji

Poniższe rysunki ilustrują wyniki aproksymacji dla wybranych kombinacji liczby punktów n i stopnia wielomianu m . Wykresy zostały wygenerowane przez Gnuplot na podstawie danych i skryptu z programu C. Porównują one funkcję oryginalną $f(x)$ (niebieska linia przerywana), wielomian aproksymujący $P_m(x)$ (czerwona linia ciągła) oraz punkty dyskretyzacji (x_i, y_i) (czarne punkty).

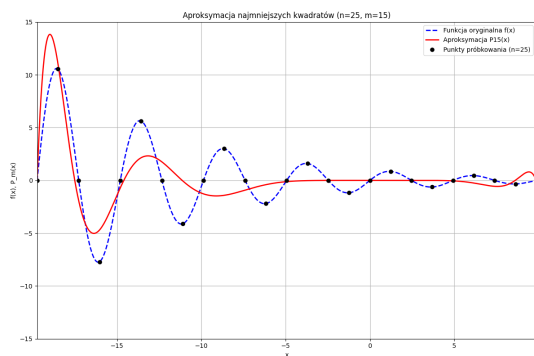
Liczba punktów $n = 25$



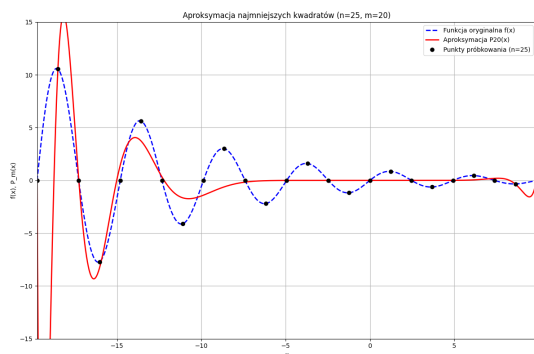
(a) Stopień $m = 5$



(b) Stopień $m = 10$

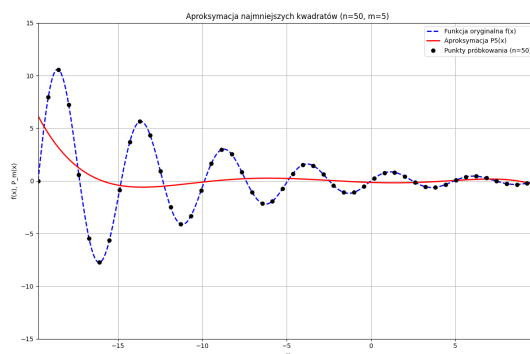


(c) Stopień $m = 15$

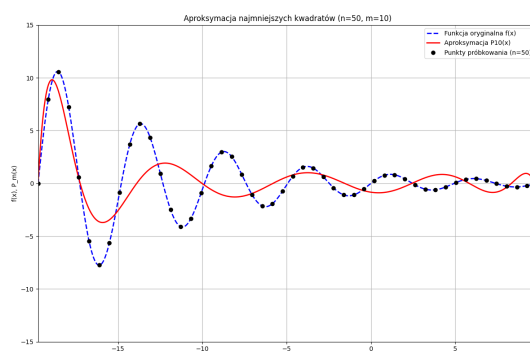


(d) Stopień $m = 20$

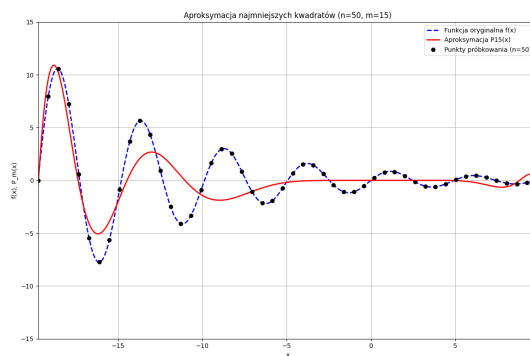
Liczba punktów $n = 50$



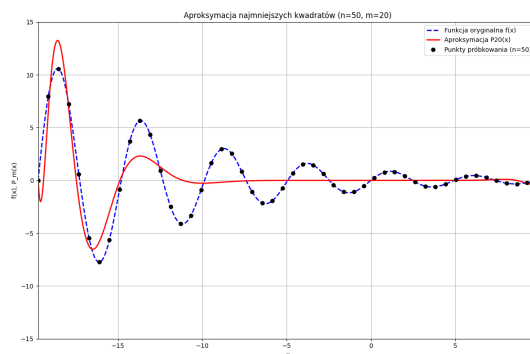
(e) Stopień $m = 5$



(f) Stopień $m = 10$



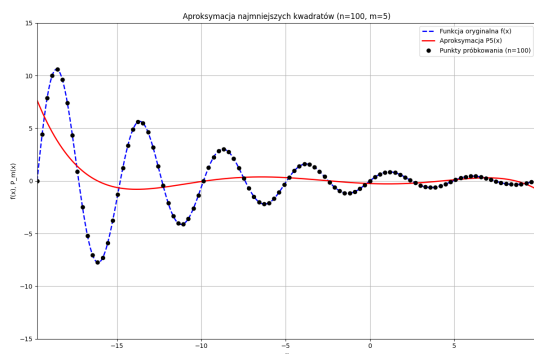
(g) Stopień $m = 15$



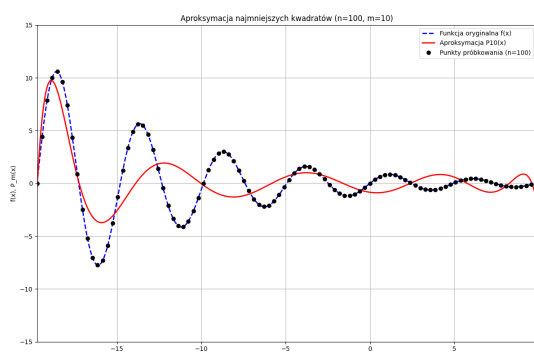
(h) Stopień $m = 20$

Rysunek 1: Porównanie aproksymacji dla $n = 25$ (lewa kolumna) i $n = 50$ (prawa kolumna) przy różnych stopniach m .

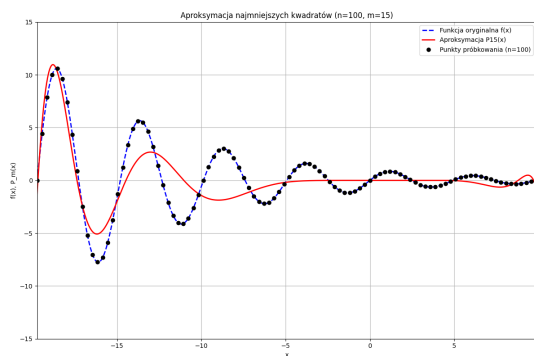
Liczba punktów $n = 100$



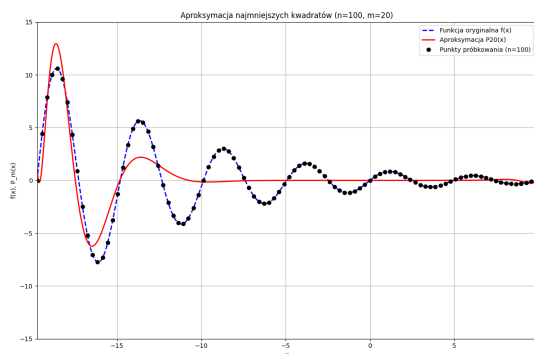
(a) Stopień $m = 5$



(b) Stopień $m = 10$

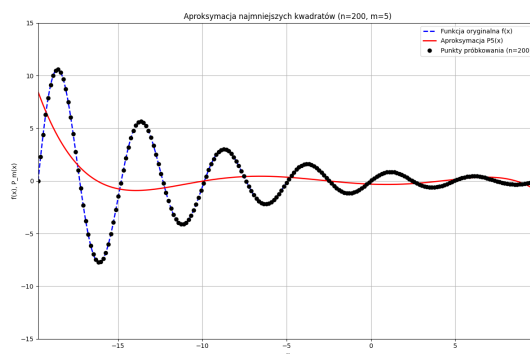


(c) Stopień $m = 15$

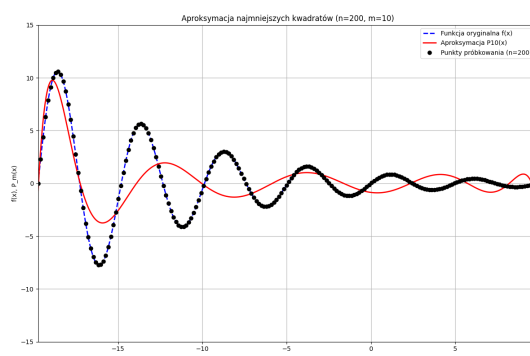


(d) Stopień $m = 20$

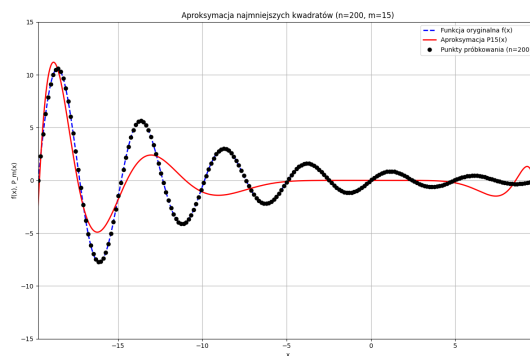
Liczba punktów $n = 200$



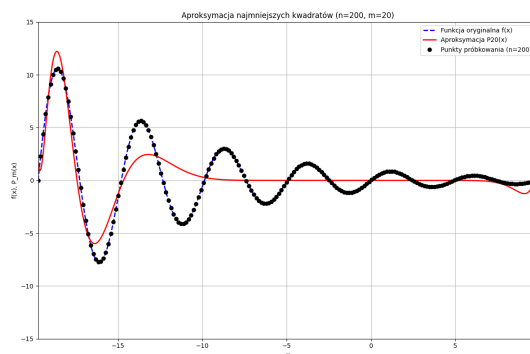
(e) Stopień $m = 5$



(f) Stopień $m = 10$



(g) Stopień $m = 15$

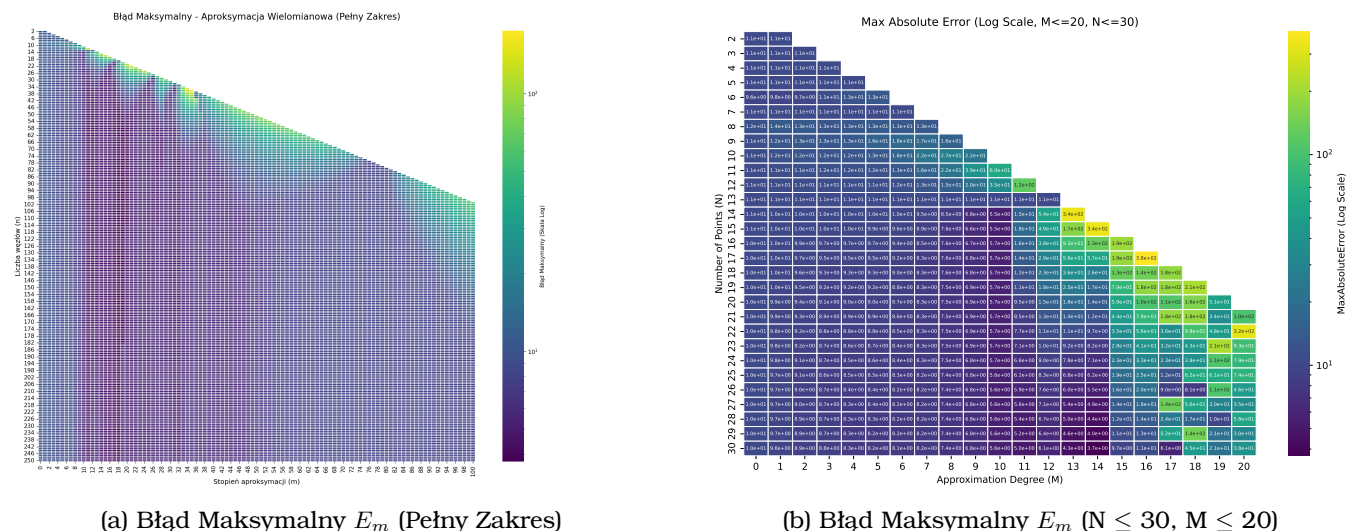


(h) Stopień $m = 20$

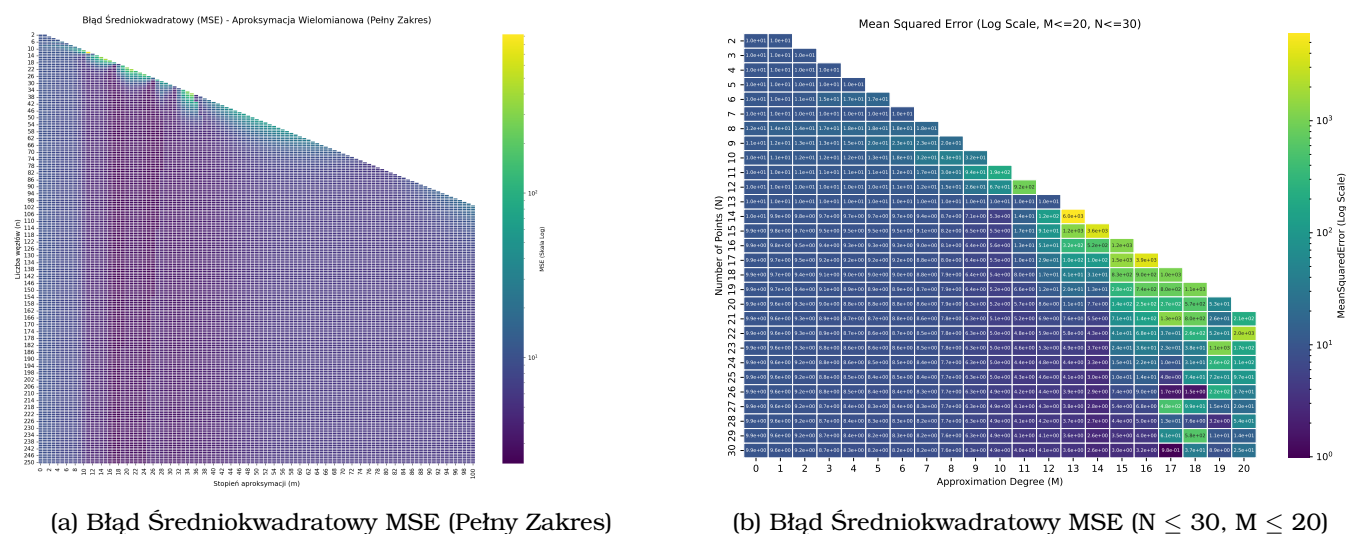
Rysunek 2: Porównanie aproksymacji dla $n = 100$ (lewa kolumna) i $n = 200$ (prawa kolumna) przy różnych stopniach m .

7 Analiza błędów aproksymacji - Heatmapy

Zbiorną analizę wpływu obu parametrów (n i m) na jakość aproksymacji umożliwiają poniższe mapy ciepła (heatmapy), wygenerowane przez skrypt Python na podstawie danych z pliku CSV. Kolory reprezentują wartość błędu w skali logarytmicznej – jaśniejsze kolory oznaczają mniejszy błąd, ciemniejsze - większy. **Oś X reprezentuje stopień wielomianu (M), a oś Y liczbę punktów (N).**



Rysunek 3: Heatmapy Błędu Maksymalnego E_m (skala log) w zależności od liczby punktów n (oś Y) i stopnia wielomianu m (oś X).



Rysunek 4: Heatmapy Błędu Średniokwadratowego (MSE) (skala log) w zależności od liczby punktów n (oś Y) i stopnia wielomianu m (oś X).

7.1 Interpretacja wyników i obserwacje

Analiza heatmap oraz danych liczbowych z pliku CSV prowadzi do następujących wniosków:

- **Wpływ stopnia wielomianu m (dla stałego n):** Dla ustalonej liczby punktów n , zwiększanie stopnia wielomianu m (ruch w prawo na heatmapie) początkowo prowadzi do poprawy dokładności przybliżenia (spadek wartości błędów, jaśniejsze kolory). Widać to wyraźnie na heatmapach z adnotacjami (Rysunek 3b i 4b) oraz na heatmapach pełnego zakresu dla niższych n . Jednak po przekroczeniu pewnej optymalnej wartości $m_{opt}(n)$, dalsze zwiększanie m prowadzi do gwałtownego wzrostu błędu, zwłaszcza błędu maksymalnego E_m . Na heatmapach pełnego zakresu objawia się to nagłym

przejściem do bardzo ciemnych kolorów w prawej części wykresu dla danej wartości n . Jest to spowodowane złym uwarunkowaniem macierzy Grama G i niestabilnością rozwiązywania układu równań normalnych dla wysokich stopni wielomianów. Program C może w takich przypadkach zwrócić błąd lub obliczyć niedokładne współczynniki, prowadząc do dużych błędów aproksymacji.

- **Wpływ liczby punktów n (dla stałego m):** Przy ustalonym stopniu wielomianu m (ruch w górę na heatmapie), zwiększanie liczby punktów n zazwyczaj poprawia dokładność aproksymacji (jaśniejsze kolory). Dostarczenie większej liczby danych o funkcji pozwala na lepsze "uśrednienie" jej przebiegu przez wielomian i potencjalnie stabilizuje problem dla danego m . Jednak dla bardzo wysokich m , gdzie dominują problemy numeryczne, zwiększanie n może nie przynieść już znaczącej poprawy lub zależność staje się nieregularna.
- **Złe uwarunkowanie i stabilność numeryczna:** Heatmapy wyraźnie ilustrują problem złego uwarunkowania związanego z rozwiązywaniem układu równań normalnych dla bazy potęgowej. Gwałtowny wzrost błędów dla m zbliżającego się do n (prawy górny róg obszaru danych na heatmapach, często z wartościami błędów rzędu 10^2 lub większymi, lub oznaczony jako 'NAN' w pliku CSV, co skutkuje białymi plamami na heatmapie) jest tego bezpośrednim skutkiem. Metoda eliminacji Gaussa z częściowym pivotingiem, choć próbuje stabilizować proces, nie jest w stanie poradzić sobie z inherentnie złym uwarunkowaniem macierzy Grama dla wysokich m . Skutkuje to albo niepowodzeniem rozwiązania, albo uzyskaniem numerycznie bezużytecznych współczynników.
- **Obszar najlepszego dopasowania:** Najniższe wartości błędów (najjaśniejsze obszary na heatmapach) koncentrują się w regionie, gdzie liczba punktów n jest stosunkowo duża (np. $n > 50 - 100$), a stopień wielomianu m jest umiarkowany (znacznie mniejszy od n). Na podstawie przedstawionych heatmap (szczególnie dla MSE), wydaje się, że optymalne stopnie m dla badanej funkcji i zakresu n do 250 leżą w przybliżeniu w zakresie $m \in [15, 35]$. Dokładne wartości najlepszych parametrów n i m zostały zidentyfikowane na podstawie danych liczbowych.
- **Porównanie metryk błędów:** Heatmapa MSE (Rysunek 4) wydaje się być nieco "gładsza" niż heatmapa błędu maksymalnego E_m (Rysunek 3). Gwałtowne wzrosty błędów i efekty numeryczne dla wysokich m są często bardziej dramatyczne na heatmapie E_m , ponieważ błąd maksymalny jest bardziej czuły na lokalne, duże odchylenia wielomianu od funkcji. MSE, jako miara średnia, lepiej oddaje ogólną jakość dopasowania na całym przedziale.

Analiza danych liczbowych z pliku `approximation_heatmap_errors.csv` potwierdza obserwacje z heatmap. Najlepsze uzyskane przybliżenie w normie supremum (E_m) znaleziono dla $n = 211$ i $m = 26$, z błędem maksymalnym rzędu 1.09×10^{-6} . Natomiast najmniejszy błąd średniokwadratowy (MSE) osiągnięto również dla $n = 211$, ale przy stopniu $m = 28$, uzyskując ekstremalnie małą wartość 2.15×10^{-15} . Pokazuje to, że optymalny wybór parametrów może nieznacznie zależeć od przyjętej metryki błędu, ale w obu przypadkach najlepsze wyniki uzyskano dla dużej liczby węzłów n i umiarkowanego stopnia wielomianu m , co jest zgodne z oczekiwaniami teoretycznymi dotyczącymi stabilności aproksymacji.

8 Tabela wyników aproksymacji

Poniższa tabela przedstawia wybrane wyniki aproksymacji dla różnych kombinacji liczby punktów dyskretyzacji n i stopnia wielomianu aproksymującego m . Pokazano wartości błędu maksymalnego (E_m) oraz błędu średniokwadratowego (MSE), odczytane z pliku CSV wygenerowanego przez program C. Wybrano reprezentatywne wartości n oraz stopnie m ilustrujące trend: od niskich stopni, przez zakres uznany za bliski optymalnemu (okolice $m \approx 20 - 35$), aż po wyższe stopnie, gdzie pojawiają się problemy numeryczne (duże błędy lub wartości 'NAN' - oznaczone jako '—').

Tabela 1: Błędy aproksymacji (E_m i MSE) dla wybranych n i m .

L. pkt n	Stopień m	Błąd Maks E_m	Błąd MSE
25	5	8.51	8.42
	10	2.52e-1	1.84e-2
	15	1.13e-2	3.53e-5
	20	5.78e-4	1.02e-7
Ciąg dalszy na następnej stronie			

Tabela 1 – ciąg dalszy z poprzedniej strony

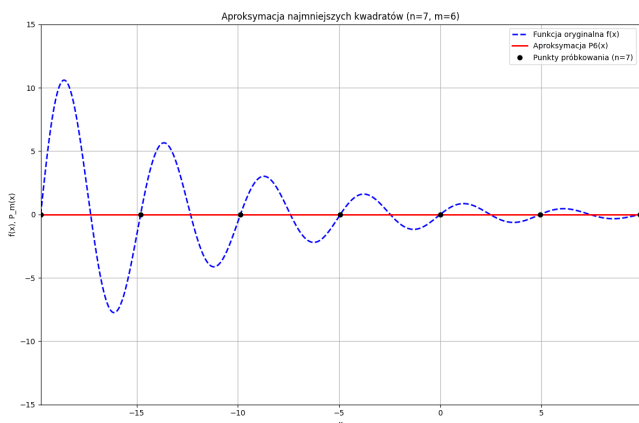
L. pkt n	Stopień m	Błąd Maks E_m	Błąd MSE
	24	1.03e2	1.93e2
	25	—	—
50	5	8.81	8.75
	10	1.21e-1	4.46e-3
	15	1.16e-3	3.45e-7
	20	5.21e-6	8.61e-12
	25	1.03e-6	2.11e-14
	30	8.09e-7	1.20e-14
	40	7.11e-4	1.43e-7
	48	7.99e1	6.00e2
100	5	8.81	8.73
	10	1.23e-1	4.47e-3
	15	1.06e-3	2.94e-7
	20	4.13e-6	5.33e-12
	25	1.01e-6	1.96e-14
	30	3.92e-7	3.82e-15
	40	6.22e-6	1.06e-11
	98	3.19e2	1.81e3
150	5	8.81	8.73
	10	1.23e-1	4.47e-3
	15	1.06e-3	2.93e-7
	20	4.12e-6	5.29e-12
	25	1.01e-6	1.95e-14
	30	3.90e-7	3.78e-15
	40	6.18e-6	1.05e-11
	100	1.04e1	6.01
200	5	8.81	8.73
	10	1.23e-1	4.47e-3
	15	1.05e-3	2.93e-7
	20	4.12e-6	5.29e-12
	25	1.01e-6	1.95e-14
	30	3.89e-7	3.77e-15
	40	6.17e-6	1.04e-11
	100	7.75	5.83
211	5	8.81	8.73
	15	1.05e-3	2.93e-7
	20	4.12e-6	5.29e-12
	25	1.01e-6	1.95e-14
	26	1.09e-6	2.21e-14
	28	1.55e-6	2.15e-15
	30	3.89e-7	3.77e-15
	40	6.17e-6	1.04e-11
	100	7.75	5.79
250	5	8.81	8.73
	10	1.23e-1	4.47e-3
	15	1.05e-3	2.93e-7
	20	4.12e-6	5.29e-12
	25	1.01e-6	1.95e-14
	30	3.89e-7	3.77e-15
	40	6.17e-6	1.04e-11
	100	7.75	5.78

9 Przypadek szczególny: Punkty próbkowania w pobliżu miejsc zerowych

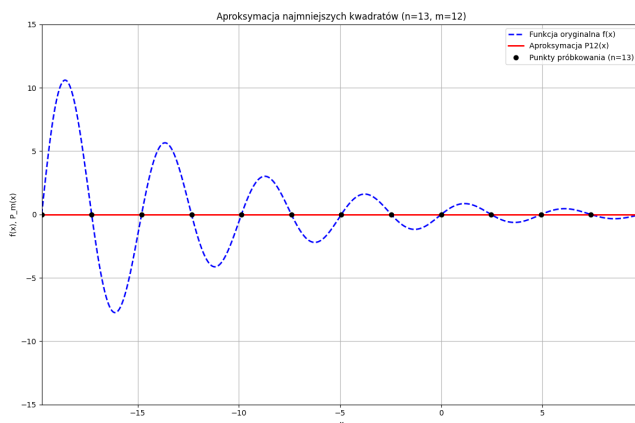
Podczas analizy wyników zaobserwowano szczególny przypadek dla pewnych wartości liczby punktów dyskretyzacji n , takich jak $n = 7$ i $n = 13$. Przy równomiernym rozmieszczeniu węzłów w przedziale $[-2\pi^2, \pi^2]$ (zgodnie z funkcją `uniformNodes`), dla tych konkretnych n , punkty próbkowania (x_i, y_i) trafiają bardzo blisko miejsc zerowych funkcji $f(x) = \sin(4x/\pi) \exp(-0.4x/\pi)$. W rezultacie, wartości $y_i = f(x_i)$ są bardzo bliskie zeru dla wszystkich $i = 0, \dots, n-1$.

Gdy algorytm aproksymacji najmniejszych kwadratów (`leastSquaresApprox`) otrzymuje taki zestaw danych $(x_i, y_i \approx 0)$, stara się znaleźć wielomian $P_m(x)$, który minimalizuje sumę $\sum (P_m(x_i) - y_i)^2$. Ponieważ wszystkie y_i są bliskie zeru, wielomianem, który najlepiej minimalizuje tę sumę (szczególnie dla m bliskiego $n-1$, gdzie problem staje się zbliżony do interpolacji, jak w pokazanych przykładach $m = 6, n = 7$ oraz $m = 12, n = 13$), jest wielomian tożsamościowo równy zeru lub bardzo bliski zeru: $P_m(x) \approx 0$.

Ilustrują to poniższe wykresy (wygenerowane przez Gnuplot na podstawie danych z C):



(a) Aproksymacja dla $n = 7$ i $m = 6$. Punkty próbkowania (czarne kropki) leżą blisko osi OX, a wynikowy wielomian (czerwona linia) jest bliski zeru.



(b) Aproksymacja dla $n = 13$ i $m = 12$. Podobnie jak dla $n = 7$, punkty próbkowania trafiają w pobliże miejsc zerowych, prowadząc do aproksymacji $P_{12}(x) \approx 0$.

Rysunek 5: Ilustracja przypadku, gdy równomierne próbkowanie trafia w pobliże miejsc zerowych funkcji, prowadząc do trywialnej i błędnej aproksymacji.

Ten przypadek dobitnie pokazuje, że samo zwiększanie liczby punktów n lub stopnia wielomianu m nie gwarantuje dobrej aproksymacji, jeśli punkty próbkowania są rozmieszczone w sposób "niefortunny". Równomierne próbkowanie jest szczególnie podatne na takie sytuacje w przypadku funkcji oscylujących. Trafienie punktów w pobliże miejsc zerowych powoduje utratę informacji o amplitudzie i kształcie funkcji między tymi punktami, co prowadzi do całkowicie błędnej aproksymacji (o dużym błędzie maksymalnym i MSE w porównaniu do funkcji oryginalnej). Podkreśla to znaczenie strategii doboru węzłów w procesie aproksymacji – węzły powinny adekwatnie "próbkować" zmienność funkcji w całym przedziale.

10 Wnioski końcowe

Przeprowadzone eksperymenty z aproksymacją średniokwadratową funkcji $f(x) = \sin(4x/\pi) \exp(-0.4x/\pi)$ wielomianami algebraicznymi, zrealizowane w języku C z wykorzystaniem metody równań normalnych i eliminacji Gaussa, oraz wizualizowane za pomocą Pythona i Gnuplot, pozwalają sformułować następujące wnioski:

1. Zależność od parametrów n i m : Jakość aproksymacji silnie zależy od liczby punktów n i stopnia wielomianu m . Zwiększanie stopnia m dla ustalonego n poprawia dokładność tylko do pewnego momentu, po czym dominować zaczynają problemy związane z niestabilnością numeryczną metody równań normalnych. Zwiększanie liczby punktów n generalnie poprawia dokładność dla odpowiednio dobranego, umiarkowanego stopnia m .

2. Optymalne parametry i najlepsza aproksymacja: Dla badanej funkcji i równomiernych punktów, istnieje optymalny zakres stopni m , który minimalizuje błędy. Stosowanie stopni m bliskich $n-1$ jest wysoce niezalecane z powodu gwarantowanych problemów numerycznych (złe uwarunkowanie macierzy

Gramy). Na podstawie przeprowadzonych symulacji (dla n do 250 i m do 100), najlepsze wyniki uzyskano dla $n = 211$. Najmniejszy błąd maksymalny ($E_m \approx 1.09 \times 10^{-6}$) osiągnięto dla $m = 26$, a najmniejszy błąd średniokwadratowy ($MSE \approx 2.15 \times 10^{-15}$) dla $m = 28$. Potwierdza to, że optymalny stopień jest znacznie niższy niż maksymalna możliwa wartość $n - 1$.

3. Złe uwarunkowanie i stabilność numeryczna: Problem złego uwarunkowania macierzy Grama G jest kluczowym ograniczeniem przy stosowaniu bazy potęgowej i metody równań normalnych dla wielomianów wysokiego stopnia. Jest to główna przyczyna gwałtownego wzrostu błędów (lub niepowodzenia obliczeń), gdy m zbliża się do n . Zastosowana w kodzie C eliminacja Gaussa z częściowym pivotingiem jest standardową techniką rozwiązywania układów, ale nie jest w stanie przezwyciężyć inherentnie złego uwarunkowania macierzy G dla wysokich m .

4. Wizualizacja (Heatmapy i wykresy indywidualne): Heatmapy błędów (generowane przez Python) okazały się bardzo efektywnym narzędziem do zrozumienia globalnych zależności między n , m a błędami aproksymacji, pozwalając szybko zidentyfikować obszary optymalne i problematyczne. Indywidualne wykresy (generowane przez Gnuplot) dostarczają wglądu w jakość dopasowania dla konkretnych par (n, m) i pozwalają zaobserwować np. oscylacje wielomianu.

5. Równomierne punkty i potencjalne problemy: Użycie równomiernie rozmieszczonych punktów, choć proste w implementacji, przyczynia się do problemów ze złym uwarunkowaniem. Dodatkowo, jak pokazano w Sekcji 9 (dla $n = 7$ i $n = 13$), może prowadzić do bardzo słabych, wręcz trywialnych wyników, jeśli punkty próbkowania przypadkowo trafią w pobliże miejsc zerowych funkcji. Podkreśla to, że dla funkcji oscylujących, równomierne próbkowanie może nie być najlepszą strategią.

6. Porównanie z innymi metodami (sugestia): Zaimplementowana metoda (równania normalne + Gauss) jest klasycznym podejściem, ale numerycznie mniej stabilnym niż alternatywy. W przyszłych badaniach warto byłoby porównać wyniki z metodami opartymi na rozkładzie QR lub SVD macierzy Vandermonde'a, a także zbadać wpływ użycia węzłów Czebyszewa lub ortogonalnych baz wielomianowych na stabilność i dokładność aproksymacji.

Podsumowując, aproksymacja średniokwadratowa wielomianami algebraicznymi jest potężną techniką, ale jej skuteczne zastosowanie wymaga świadomego doboru parametrów n i m oraz zrozumienia ograniczeń numerycznych metody obliczeniowej i potencjalnych problemów związanych z rozmieszczeniem węzłów, zwłaszcza przy użyciu wielomianów wysokiego stopnia i równomiernego próbkowania. Zastosowana w projekcie kombinacja narzędzi (C do obliczeń, Python i Gnuplot do wizualizacji) pozwoliła na kompleksową analizę zagadnienia.